

九州大学 正員 樗木 武  
 " 学生員 〇井橋 岡介  
 長崎大学 正員 高橋 和雄

1. 緒言

板を柱に下面接支える無梁板構造は板と柱との組合構造に比して、柱が突出してないため、空間の利用率が高く、採光、照明、通風に便利である。しかし、本構造は板を柱下面接支えることにより起る。その座屈安定上問題があり、実際設計に先立ち、このことを十分解明しておくことが強く要望される。そこで、著者らは、無梁板構造の座屈安定について研究を進めるものだが、本講演では、その成果の一部として中間に1本の柱を有する無梁板構造において、柱面上に集中荷重が作用する場合の柱座屈について論ずるものである。

2. 解法原理

図1に示すように、任意境界を有する矩形板が中間に於いて、1本の柱で支えられるものとし、柱の位置を(系a, y, b)とする。柱の面上に、垂直集中荷重Pが作用する場合、Pが両辺幅を越えて大きくなれば、柱は座屈を起し、曲げ変形を生じることがある。このとき、板と柱は剛結された状態の下、柱の曲げ変形に対し、板が抵抗するようになる。

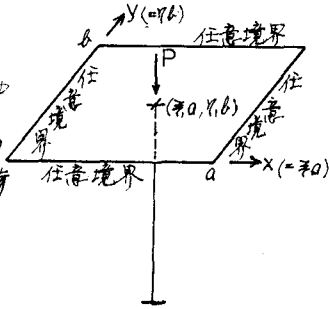


図 1.

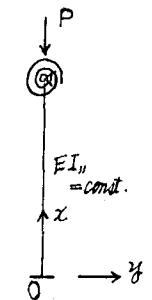


図 2.

この抵抗は板の曲げに由来するもので、これを一種の回転抵抗係数と考へれば、そのばね定数を算定する必要がある。以下、図1のような状態を因にこのような状態に置き換えて本題の座屈問題を解析可能とする。板のばね定数は、文献(1)の無梁板構造解析の基本的な手法により、容易に算定することができ、いま、柱と板との間に伝達される垂直反力と  $V_{II}$ 、又右向き方向の反力モーメントを、 $M_{II}$ 、 $M_{II}^x$  とすれば、これを求めるための基本連立方程式が次式で与えられる。

$$\begin{bmatrix} H_{II}^{II} & H_{II}^{xII} & H_{II}^{yII} \\ O_{II}^{II} & O_{II}^{xII} & O_{II}^{yII} \\ Q_{II}^{II} & Q_{II}^{xII} & Q_{II}^{yII} \end{bmatrix} \begin{bmatrix} V_{II} \\ -M_{II}^x \\ -M_{II}^y \end{bmatrix} = \begin{bmatrix} \frac{ab}{4} L_{II}^{II} - \frac{11D}{40} d_{II} \\ \frac{ab}{4} L_{II}^{xII} - \frac{11D}{40} \theta_{II}^x \\ \frac{ab}{4} L_{II}^{yII} - \frac{11D}{40} \theta_{II}^y \end{bmatrix} \quad \text{----- (1)}$$

ここで、 $H, O, Q$  はばね係数、 $L$  は荷重項である(文献(1)参照)。

x方向の曲げ抵抗のばね定数を求める場合には、柱頭部にx方向の曲げモーメントを伝達しないようなローラー支架を挿入し、このように柱を支える無梁板構造に対して、柱面上の板に単位モーメントを荷重として加えるような力学系を想定すればよい。このとき、 $d_{II} = 0, M_{II}^x = 0$  となるから、式(1)は、次の内容となる。

$$A_x \cdot X_x = L_x \quad \text{----- (2)}$$

$$\therefore \text{すなわち、} A_x = \begin{bmatrix} H_{II}^{II} & \frac{1}{4} H_{II}^{yII} \\ Q_{II}^{II} & \frac{1}{4} Q_{II}^{yII} + \frac{11D}{4} \theta_{II}^y \end{bmatrix} \quad X_x = \begin{bmatrix} V_{II} \\ -M_{II}^y \end{bmatrix} \quad L_x = \frac{ab}{4} \begin{bmatrix} L_{II}^{II} \\ L_{II}^{yII} \end{bmatrix}$$

また、 $S_{ij}$  は柱頭節に作用する方向  $a$  の力の角  $\gamma$ 、反力モーメント  $M_{ij}$  との関係を表す可変数である。

$$(\theta_{ij}^x)_x = -S_{ij} \cdot M_{ij} \quad \text{----- (3)}$$

$$\text{式 (2) から } X_L = A_L^{-1} \cdot L_L \quad \text{----- (4)}$$

式 (4) を、式 (1) の第 2 式に代入すれば、

$$[0_{11} \quad \frac{1}{4} 0_{11}'''] A_L^{-1} L_L = \frac{M_{ij}^0}{4} L_{ij}^x - \frac{M_{ij}^0}{4} (\theta_{ij}^x)_x \quad \text{----- (5)}$$

$$\therefore (\theta_{ij}^x)_x = \frac{4M_{ij}^0}{4A} \left\{ \frac{M_{ij}^0}{4} L_{ij}^x - [0_{11} \quad \frac{1}{4} 0_{11}'''] \cdot A_L^{-1} \cdot L_L \right\} \quad \text{----- (6)}$$

求めるべき  $x$  方向のばね定数を  $B_{ij}^x$  とすれば、これは  $B_{ij}^x = -1/(\theta_{ij}^x)_x$  のように定義されるから、これを式 (6) に代入して、

$$B_{ij}^x = -4A/M_{ij}^0 \left\{ \frac{M_{ij}^0}{4} L_{ij}^x - [0_{11} \quad \frac{1}{4} 0_{11}'''] \cdot A_L^{-1} \cdot L_L \right\} \quad \text{----- (7)}$$

を得る。全く同様にして、柱頭節に作用する方向  $a$  の曲げモーメントを伝えない方向  $b$  の反力  $M_{ij}$  を挿入するに解可すれば、 $z$  軸  $u$  方向の力の角  $(\theta_{ij}^z)_y, (\theta_{ij}^z)_y$ 、 $y$  方向のばね定数  $B_{ij}^z = -1/(\theta_{ij}^z)_y$  を求めることができ、次のようになる。

$$(\theta_{ij}^z)_y = -S_{ij} \cdot M_{ij}^z \quad \text{----- (8)}$$

$$(\theta_{ij}^z)_y = \frac{4M_{ij}^z}{4A} \left\{ \frac{M_{ij}^z}{4} L_{ij}^z - [Q_{11} \quad Q_{11}'''] \cdot A_y^{-1} \cdot L_y \right\} \quad \text{----- (9)}$$

$$B_{ij}^z = -1/(\theta_{ij}^z)_y = -4A/M_{ij}^z \left\{ \frac{M_{ij}^z}{4} L_{ij}^z - [Q_{11} \quad Q_{11}'''] \cdot A_y^{-1} \cdot L_y \right\} \quad \text{----- (10)}$$

ここで、柱の座屈方向は、 $z$  方向または  $y$  方向のみに起こるに限り、 $a$  下、任意方向のばね定数を算定することが必要となるから、これは、式 (7), (8), (9), (10) より容易に求めることができる。可なり、求めるべき  $x$  方向の単位モーメント  $M=1$  を作用させれば、それら  $z$  軸  $u$  方向のモーメント成分に分けることができる。  $M_c = \cos \gamma$ ,  $M_a = \sin \gamma$  と与えられる (図 3 参照)。このモーメント成分  $M_c, M_a$  を個々に作用させたときの柱面上の板の  $z$  及び  $y$  方向の回転角  $(\theta_{ij}^z)_c, (\theta_{ij}^z)_a$  及び  $(\theta_{ij}^y)_c, (\theta_{ij}^y)_a$  は既に求めた式 (7), (8), (9), (10) の結果に  $M_c, M_a$  を乗ずることで容易に求めることができ、これを、重ね合わせることにより、任意方向の単位モーメント  $M=1$  をかけたときの  $a$  及び  $u$  方向の力の角が次のように得られる。

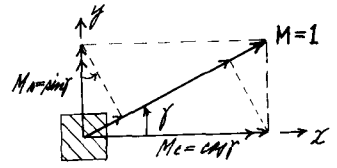


図 3. 柱位置 (角  $\gamma, \theta$ )

$$\begin{bmatrix} \theta_{ij}^z \\ \theta_{ij}^y \end{bmatrix} = \begin{bmatrix} (\theta_{ij}^z)_c + (\theta_{ij}^z)_a \\ (\theta_{ij}^y)_c + (\theta_{ij}^y)_a \end{bmatrix} = \begin{bmatrix} (\theta_{ij}^z)_c & (\theta_{ij}^z)_a \\ (\theta_{ij}^y)_c & (\theta_{ij}^y)_a \end{bmatrix} \begin{bmatrix} \cos \gamma \\ \sin \gamma \end{bmatrix} \quad \text{----- (11)}$$

よって、最初に与えられる、単位モーメント方向の回転角が次のように得られる。

$$\theta_{ij} = \begin{bmatrix} \cos \gamma \\ \sin \gamma \end{bmatrix}^T \begin{bmatrix} \theta_{ij}^z \\ \theta_{ij}^y \end{bmatrix} = \begin{bmatrix} \cos \gamma \\ \sin \gamma \end{bmatrix}^T \begin{bmatrix} (\theta_{ij}^z)_c & (\theta_{ij}^z)_a \\ (\theta_{ij}^y)_c & (\theta_{ij}^y)_a \end{bmatrix} \begin{bmatrix} \cos \gamma \\ \sin \gamma \end{bmatrix} \quad \text{----- (12)}$$

よって、任意方向のばね定数  $B_{ij}$  が、  $B_{ij} = -1/\theta_{ij}$  ----- (13) として決定されることになる。

ばね定数が算定されれば、座屈荷重は図 (2) の状態を解析することにより算定される。可なり、柱の曲げに関する基礎微分方程式  $\frac{d^4 y}{dx^4} + k^2 \frac{d^2 y}{dx^2} = 0$  ( $k^2 L^2, k^2 = P/EI$ ) ----- (14) により、力の角を求め、境界条件を代入して次のようなものを用いられる。

$$\text{柱下端固定: } x=0 \text{ で } y=0, \frac{dy}{dx}=0 \quad x=L \text{ で } y=0, \frac{dy}{dx} = -\frac{B_{ij} L^2}{EI k}$$

柱下端 ヒンジ;  $x=0$  下  $y=0, \frac{d^2 y}{dx^2} = 0$   $x=l$  下  $y=0, \frac{d^2 y}{dx^2} = -\frac{6y}{EI} \frac{dy}{dx}$   
 したがって、本題の固有値方程式が次のようになる。  
 a.  $\frac{y}{EI} = \{ k l \sin k l - (k l)^2 \cos k l \} / \{ 2(1 - \cos k l) - k l \sin k l \}$  (固定) --- (14)  
 b.  $\frac{y}{EI} = (k l)^2 \sin k l / \{ k l \cos k l - \sin k l \}$  (ヒンジ) --- (15)

無梁板構造の座屈荷重の算定に当たっては、ばね定数として板の曲げ抵抗を柱の曲げ剛性 $a$ の大小 $k$ とし、柱の曲げ変形方向が定められなければならないが、これを理論的に求めることは、甚だ困難である。しかし、柱の任意方向 $\alpha$ のばね定数は、式(15)より比較的容易に求められることができ、また、柱の固有値のばね定数を求めれば、式(14)、(15)より簡単に計算でき、実際の計算上は座屈方向として、適当な種々の方向を想定し、それらに対する座屈荷重を算定し、その最小値を数値的に求める。座屈方向がわかれば座屈荷重を決定することが可能となる。

3. 数値計算例

図(4)に示すように、矩形板が中間柱の他に周辺に単純支持されるものとし、板厚を $g/100$ 、 $\nu$ は、柱断面を $b_1 \times b_2$ とする。 $\nu$ は、 $1.0, 1.5, 2.0$ 、柱長を $1.0a, 1.5a$ 、柱位置 $(x, y)$ を $(1/6, 1/6), (1/6, 1/3), (1/6, 1/2), (1/6, 5/6), (1/3, 1/6), (1/3, 1/3), (1/3, 1/2), (1/3, 5/6), (1/2, 1/6), (1/2, 1/3), (1/2, 1/2), (1/2, 5/6)$ の $\nu$ と $k$ の値をそれぞれ求め、板のばね定数を $a$ の座屈荷重を求める。図(5)~(11)の $\nu$ と $k$ の値を示す。

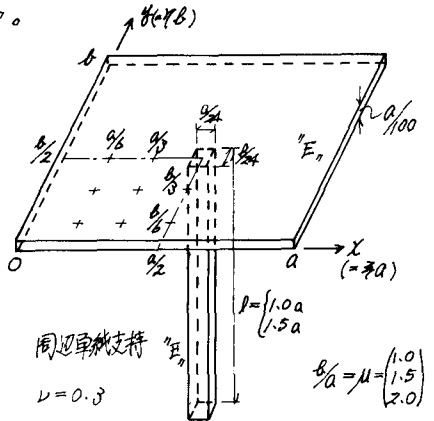


図 4.

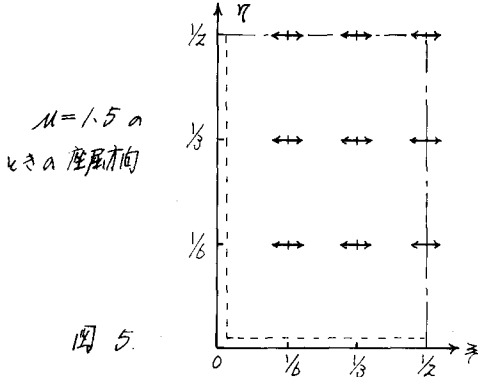


図 5.

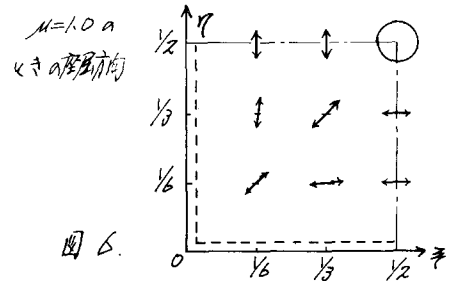


図 6.

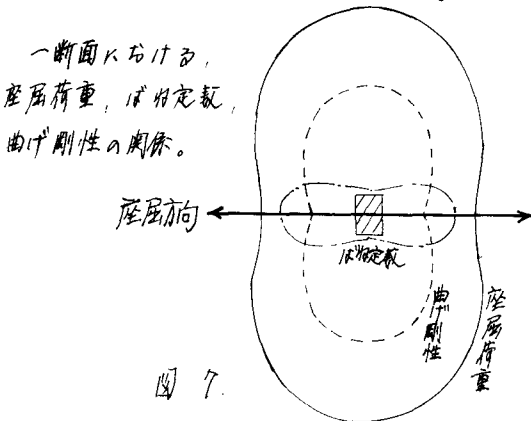


図 7.

柱長:  $1.5a$   
 辺長比:  $1.5$   
 柱下端: ヒンジ  
 柱位置:  $(1/6, 1/6)$

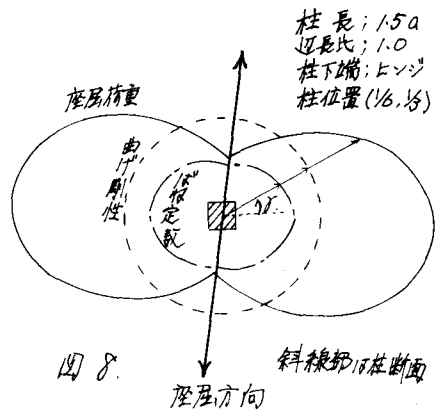


図 8.

柱長:  $1.5a$   
 辺長比:  $1.0$   
 柱下端: ヒンジ  
 柱位置:  $(1/6, 1/6)$

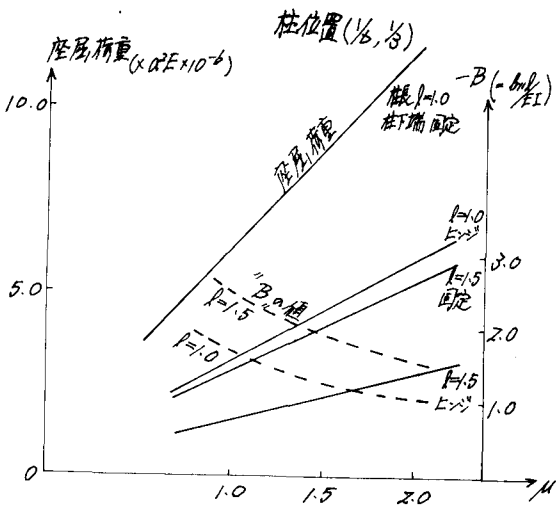


図 9.

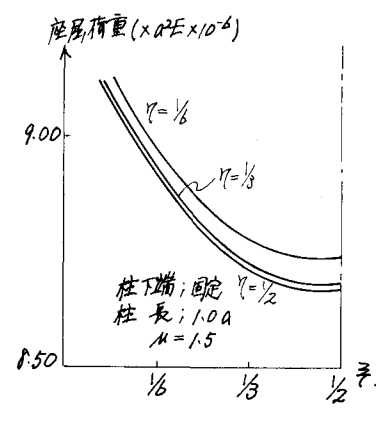


図 10.

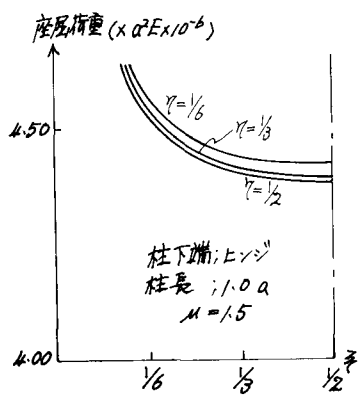


図 11.

これらの図より次の諸事項が明らかとなる。

- (1) 無梁板構造において、板の形状及び厚さを一定として、単に柱の部材長を大きくすれば、これにより、板の曲げ抵抗が小さくなり、したがって、座屈固有値が大きくなる。しかし座屈荷重を判断すれば、当然それが減少するようになる。
- (2) 板の面内における柱位置が、固有値及び座屈荷重に与える影響を検討すると、次のようになる。すなわち、板中央部に柱があるときは、板の曲げ抵抗、したがって、板の定数が小さくなり、これに伴って固有値も小さくなる。一方、柱が板の周辺に近づくとき、座屈荷重が急激に大きくなる。
- (3) 辺長比が小さくなれば、板の曲げ抵抗が大きくなるが、本算例では、柱断面も辺長比と同じ比率で変化させたので、座屈荷重は減少した。
- (4) 座屈方向は板の曲げ抵抗と、柱の曲げ剛性により決定される。正方形板を正方形断面の柱で支える場合、板の曲げ抵抗のみにより座屈方向が決定される。一方、長方形板を同じ辺長比を有する正方形断面の柱で支える場合、板の曲げ抵抗よりも、柱の曲げ剛性の影響の方が大きく、これにより、座屈方向が決定される。

参考文献

- (1) 橋本 武 ; 無梁板構造の解法に関する研究 (学術論文 1970)
- (2) T. Chiyoshi ; One-Way Buckling of Flat Slabs Supported by Fibrous Columns Proc. of the 19th Jap. Nat. for Applied Mechanics 1969 12.
- (3) Timoshenko ; Theory of Elastic Stability
- (4) 長崎研究所 ; 弾性安定学要